

### III-32 弾塑性構成モデルによる二次元液状化解析

猪股測量設計(有) 正員 猪股 洋一  
 東北大学 正員 佐武 正雄  
 東北大学 正員 平井 弘義

#### 1. はじめに

日本海中部地震においては硬い地盤と軟かい地盤の境界付近において埋設管等の液状化被害が多発した。<sup>1)</sup> このような境界近傍での二次元液状化特性を調べるため、弾塑性構成モデルを用いた有限要素法による解析を試みた。ここでは、液状化特性に及ぼす側方基盤の影響について検討する。

#### 2. 解析方法と構成モデル

解析は、地震応答ということながら、現象が極めて速いものと考え、流体の土粒子に対する相対的運動を無視できるものと仮定し、次の2式を基本方程式としておこなう。<sup>2)</sup>

$$T'_{ij,j} = (\rho - \rho_f)(\ddot{u}_i - g_i) \quad (1)$$

$$E_{ii} + n P / K_f = 0 \quad (2)$$

ここで、 $T'_{ij,j}$  は有効応力、 $\rho$  は固液混含相の密度、 $\rho_f$  は液体の密度、 $\ddot{u}_i$  は土粒子骨格の加速度、 $g_i$  は重力加速度、 $E_{ii}$  はひずみ、 $n$  は間隙率、 $P$  は間隙水圧、 $K_f$  は水の圧縮係数である。要素分割を図1に示すが、周囲は基盤となっている。図2に示す降伏関数と塑性ポテンシャル、および硬化パラメータ速度  $\dot{\gamma}$  は次式で表わせる。

$$f_1 = J_2 + \beta I_1^2 + \gamma_1 I_1 = 0 \quad (3)$$

$$g_1 = \sqrt{J_2} / I_1 - M \ln |I_1 / I_0| = 0 \quad (4)$$

$$\dot{\gamma}_1 = \gamma_1 T_{ii} \dot{E}_{jj}^{(p)} / 3 + \gamma_2 T'_{ij} E_{jj}^{(p)} \quad (5)$$

変相線を越えての除荷時には次式を適用する。

$$f_2 = J_2 + \beta I_1^2 + \gamma_2 I_1 = 0 \quad (6)$$

$$g_2 = I_1 + \gamma_3 = 0 \quad (7)$$

$$\dot{\gamma}_2 = \gamma_3 T_{ii} \dot{E}_{jj}^{(p)} / 3 \quad (8)$$

ここに、 $J_2$ 、 $I_1$  はそれぞれ偏差応力の2次、応力の1次不変量、 $\beta$ 、 $M$ 、 $\gamma_1$ 、 $\gamma_2$ 、 $\gamma_3$  は材料定数、 $\gamma_1$ 、 $\gamma_2$ 、 $I_0$  は硬化パラメータ、 $T'_{ij}$  は偏差応力、 $\dot{E}_{jj}^{(p)}$  は塑性ひずみ速度を示す。

第1層は弾性とし、また破壊線を越えた後の取扱いも、除荷時には弾性、載荷時にはせん断弾性係数を  $1/10$  にしてその弾性を仮定して計算を進めさせている。解析は、基盤に対して図3に示すような水平加速度を入力しておこなうものとし、入力加速度の最大片振幅を  $50 \text{ Gal}$  としている。地盤のモデルは、新潟地盤を用い、土質諸定数は、Seedらによるものを参考にしている。初期状態  $K_0$  値は  $0.5$  とした。境界条件としては、基盤との境界で水平・鉛直方向の変位を固定している。

#### 3. 結果 および考察

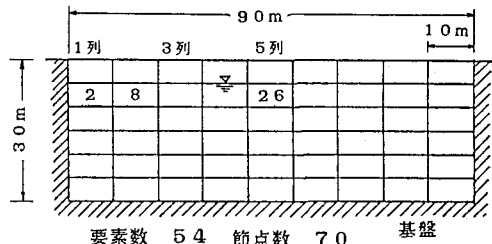


図1 要素分割図

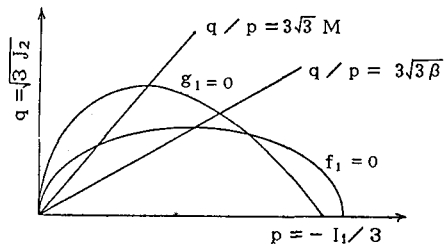


図2 降伏関数と塑性ポテンシャル

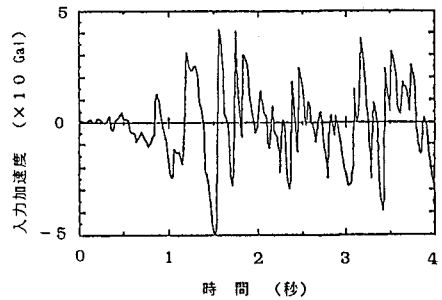


図3 基盤入力加速度（水平方向）

要素の破壊は、表面に近いところから起りはじめます。第2層の、境界近傍(要素8)と中央部(要素26)に着目して結果を示す。図4は、 $\gamma$ - $\delta$ 平面における有効応力経路であるが、境界近傍で液状化を生じにくくなっている。また除荷時の有効応力経路に違いが見られる。図5は、過剰間隙水圧の発生状況を示している。間隙水圧は入力加速度が大きくなる1秒前後から発生し、上昇していく。境界近傍では過剰間隙水圧が振動しながら上昇しているのに対し、中央部ではほぼ定常的に上昇していく。中央部での発生状況は、佐武・平井<sup>3)</sup>があこなった1次元解析の結果と類似している。また、境界に接する要素(要素2)では、負の過剰間隙水圧の発生がみられ、このような現象は杭の打込み時に、杭近辺のせん断領域に負の過剰間隙水圧が発生することとの類似も考えられる。図6に発生最大過剰間隙水圧と深さの関係を示すが、過剰間隙水圧は、表面に近い領域で最大を示し、深くなるに従って小さくなっている。水平方向にみると、境界に近いほど大きな発生量を示し、中央部での過剰間隙水圧は小さい。図7で、最小有効平均主応力やと深さの関係をみると、やはり表面近くでやや減少があるが、水平方向では、境界よりやや離れた第3列で最小の $\gamma$ を示している。これらの解析結果をまとめると次のようなことがわかる。

液状化は、表面に近い領域で生じやすい。これは土被り等による拘束から、深いところではひずみの発生があさえられることによるものと考えられる。また、側方基盤の影響によって、中央部よりも側方基盤の近傍、特に基盤からやや離れた領域で液状化を生じやすくなっている。<sup>4)</sup>これら傾向は、実被害においてもうかがえるが、今後更に解析をおこなって検討する必要があると考える。

#### 参考文献

- 1). 日本海中部地震による管路の被害調査、(財)建設工学研究振興会、1984
- 2). O.C.Zienkiewicz and P.Bettess : Soil Mechanics - Transient and Cyclic Loads (ed. G.N.Pande et al.), John Wiley & Sons, 1982
- 3). H.Hirai and M.Satake : LIQUEFACTION ANALYSIS OF SAND DEPOSITS BY AN ELASTIC-PLASTIC CONSTITUTIVE MODEL, Proc. of JSCE No.352/III-2, Dec. 1984
- 4). Seed, H.B. and Idriss, I.M. : Analysis of soil liquefaction: Niigata earthquake, Proc. ASCE, vol. 93, No. SM3
- 5). 八木、矢田部：砂地盤への静的・動的貫入抵抗に与える間隙水圧および応力状態の影響、土質工学会論文報告集 Vol.23 No.3 Sept. 1983

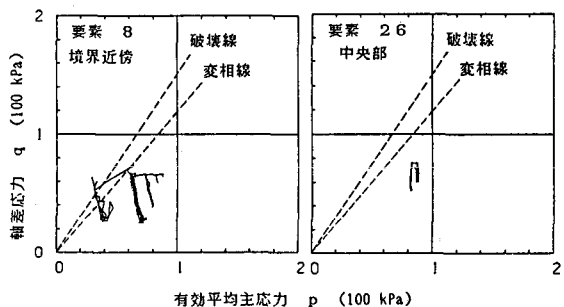


図4 有効応力経路

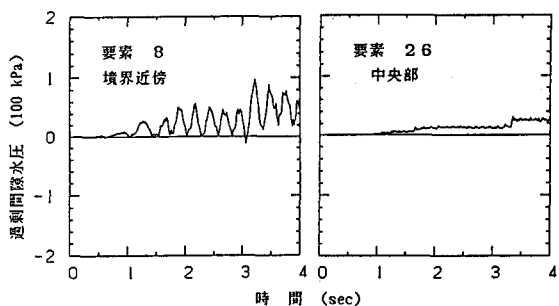


図5 過剰間隙水圧-時間

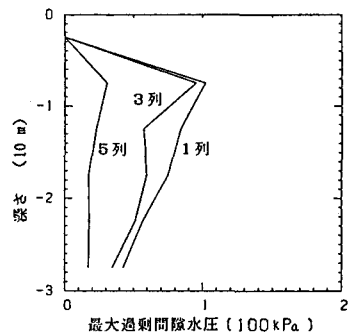


図6 最大過剰間隙水圧-深さ

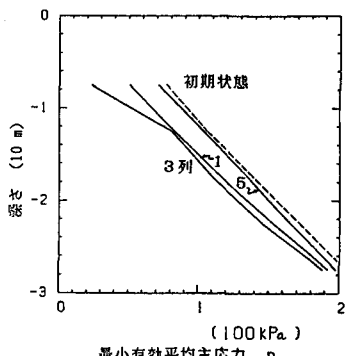


図7 最小有効平均主応力 p-深さ